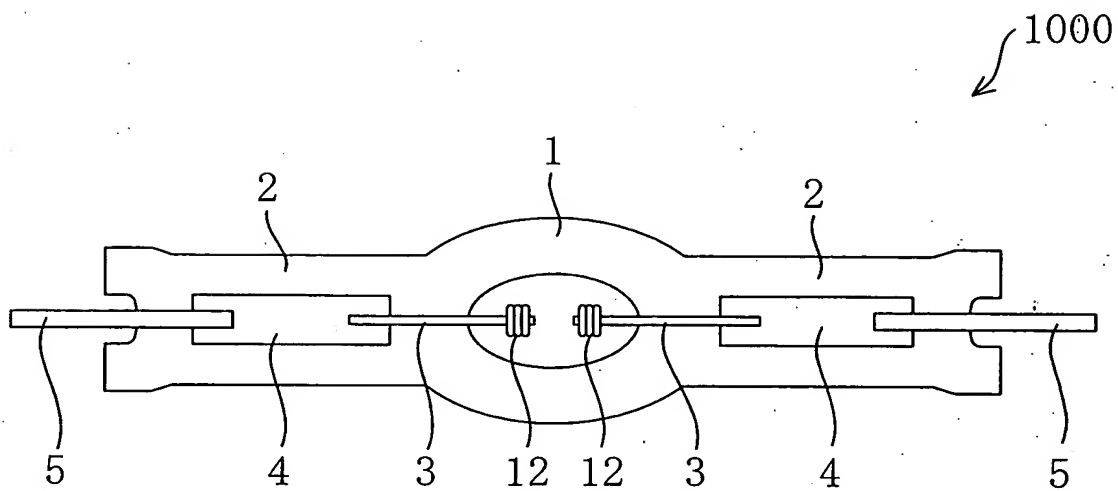
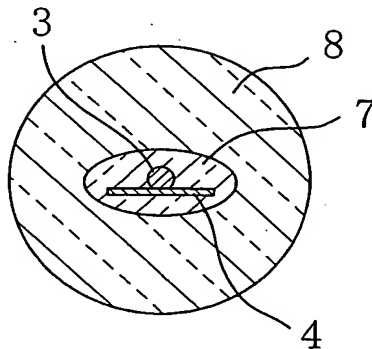
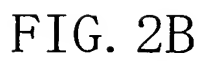


1/14

FIG. 1 PRIOR ART

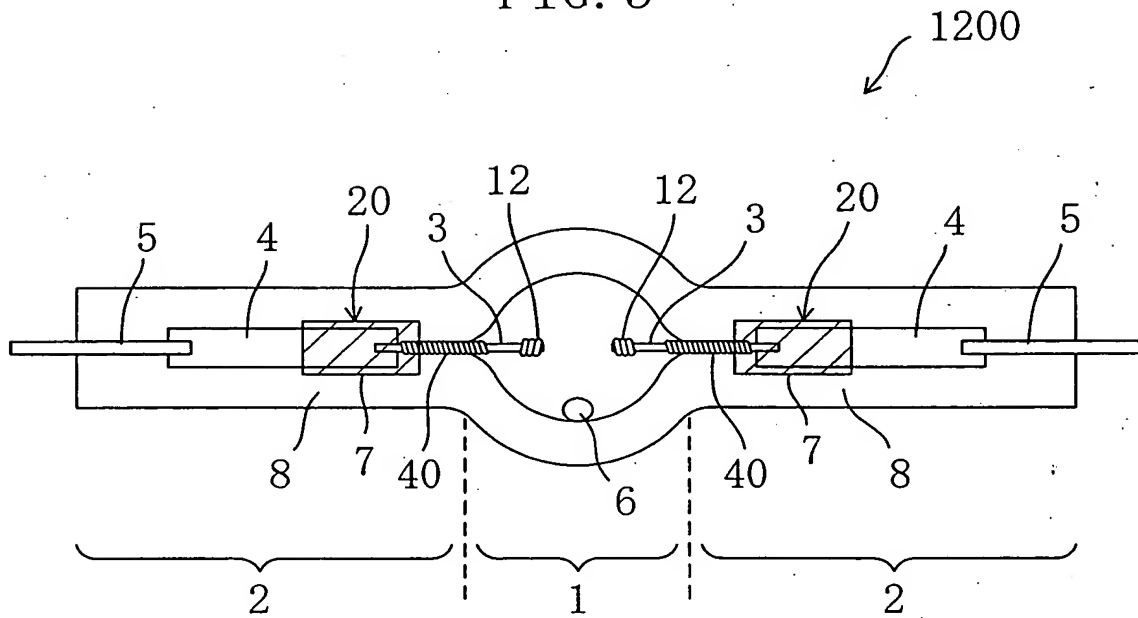


1100



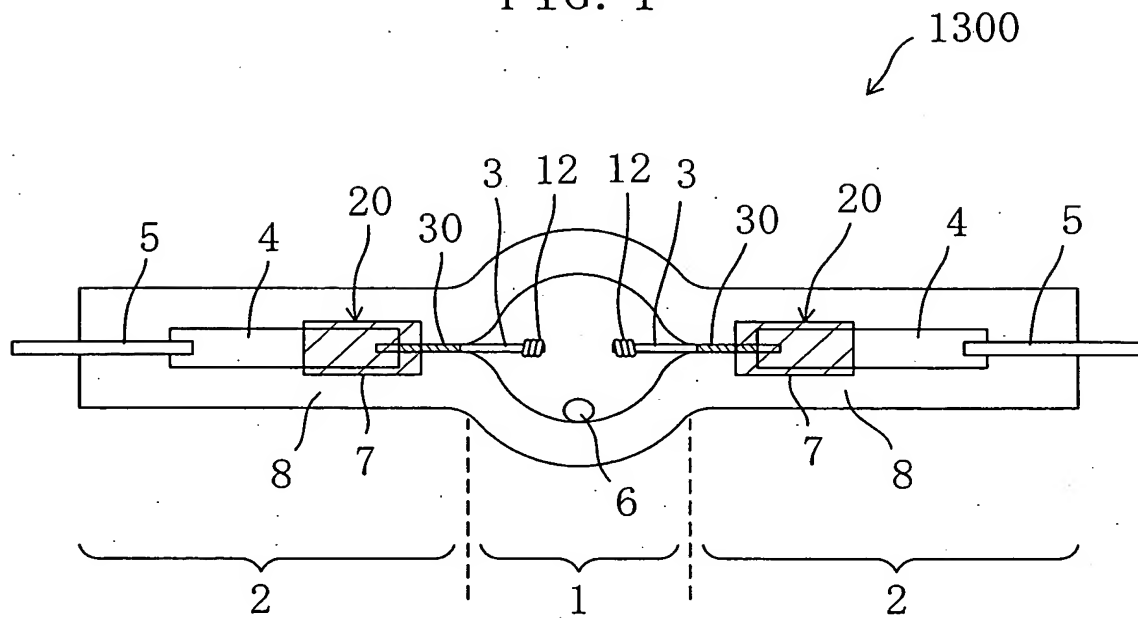
3/14

FIG. 3



4/14

FIG. 4



5/14

FIG. 5A

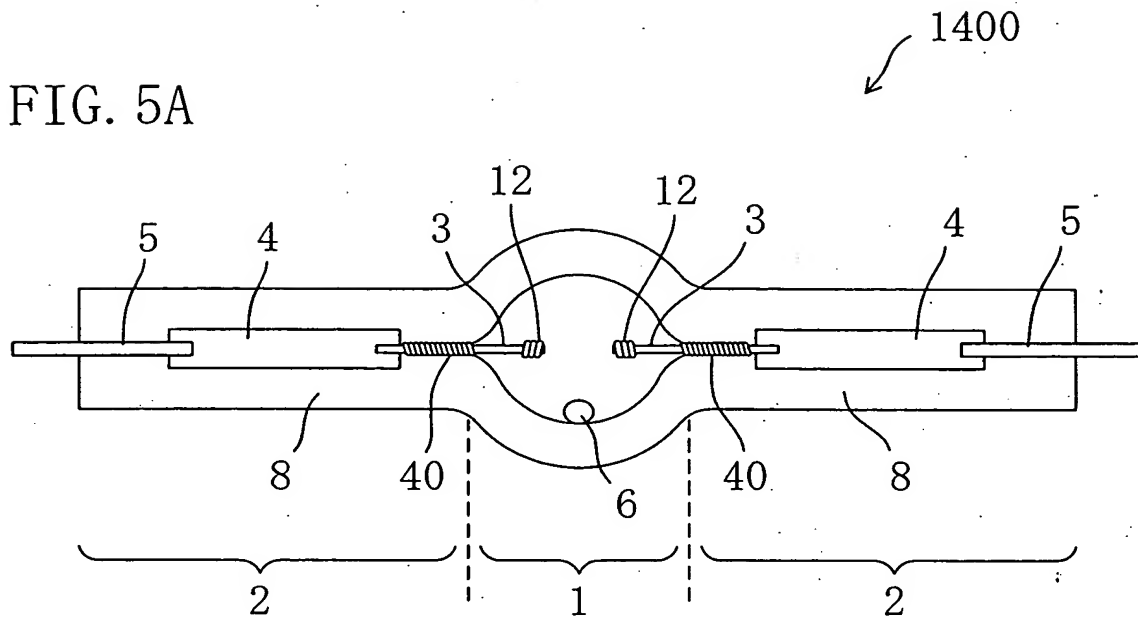


FIG. 5B

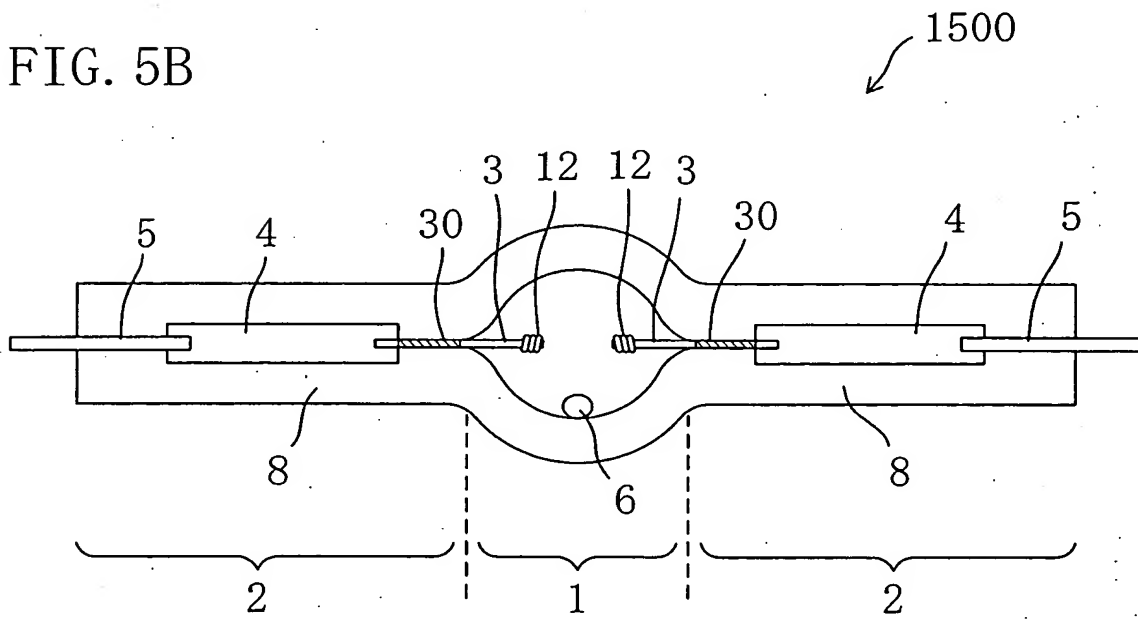
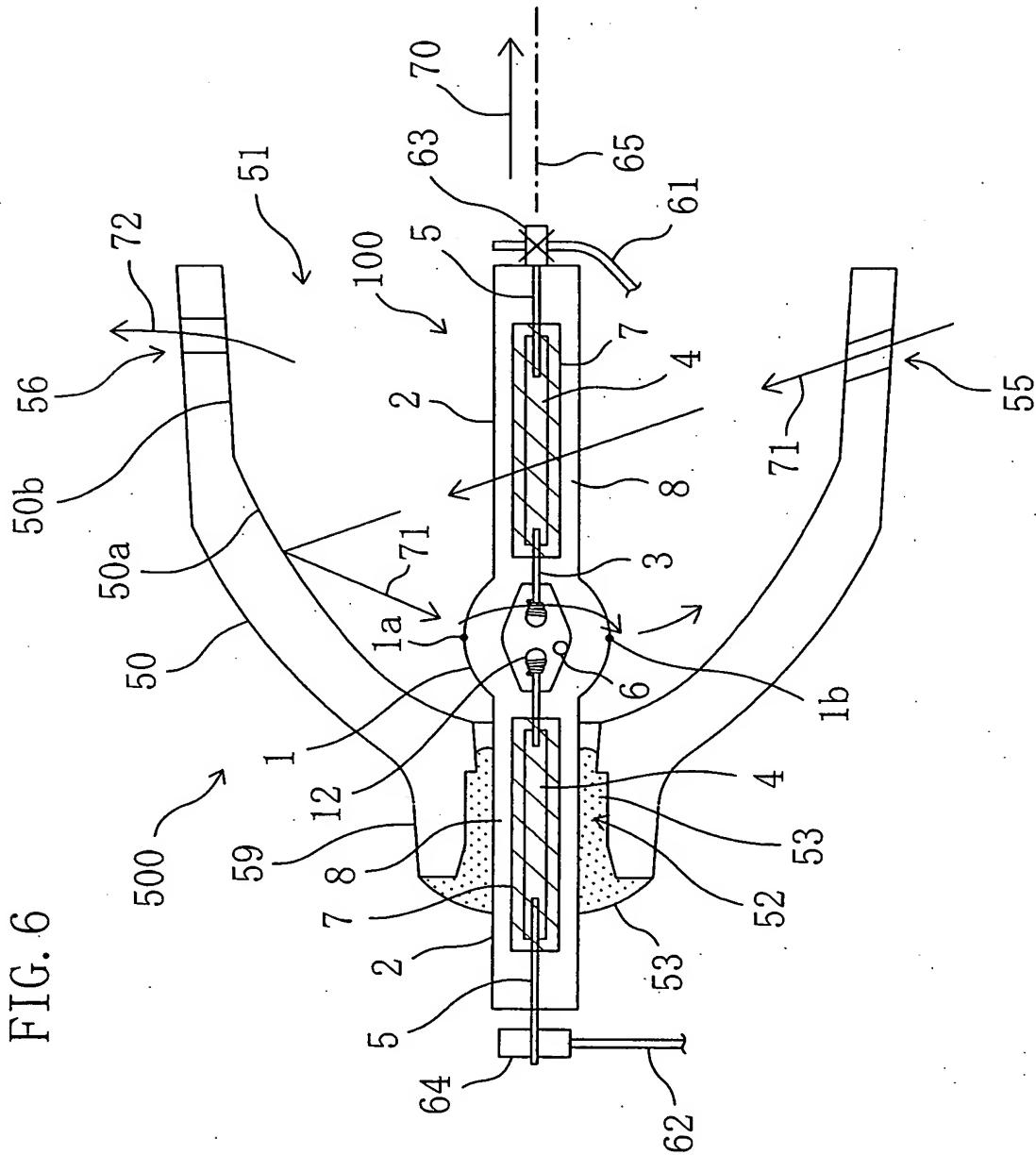


FIG. 6



7/14

FIG. 7A

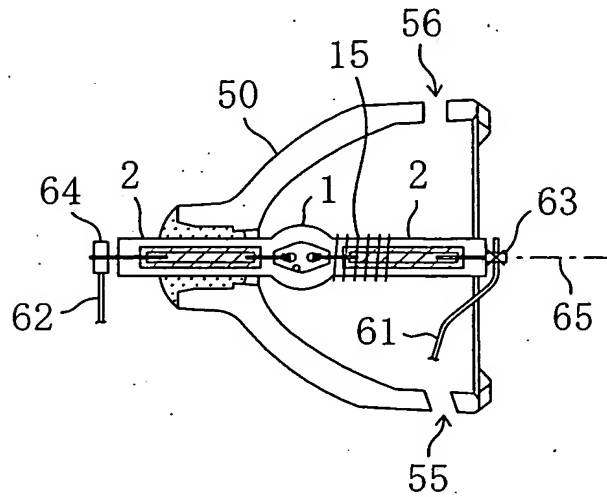


FIG. 7B

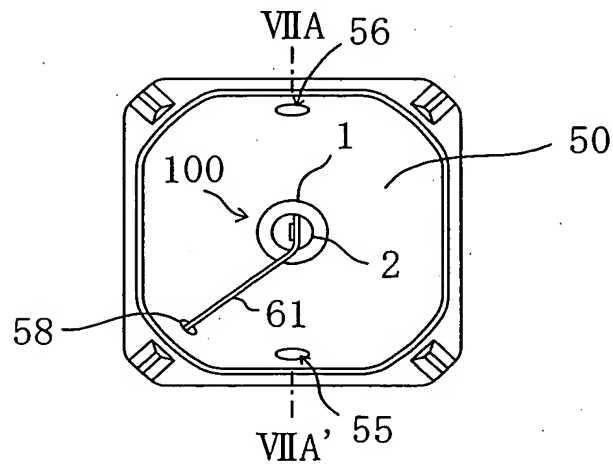
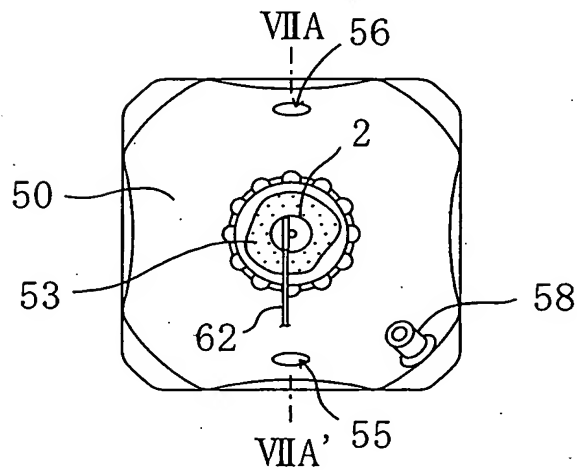
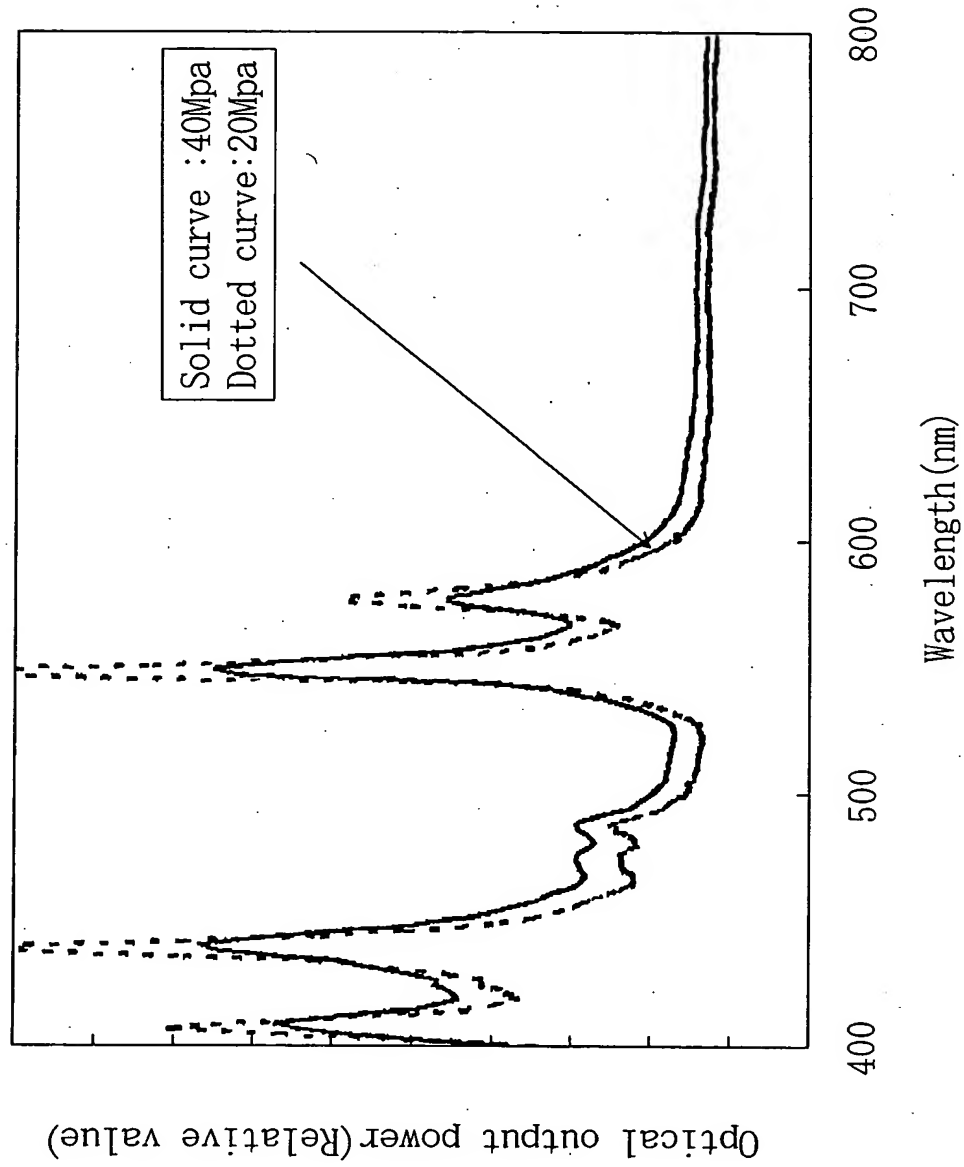


FIG. 7C



8/14

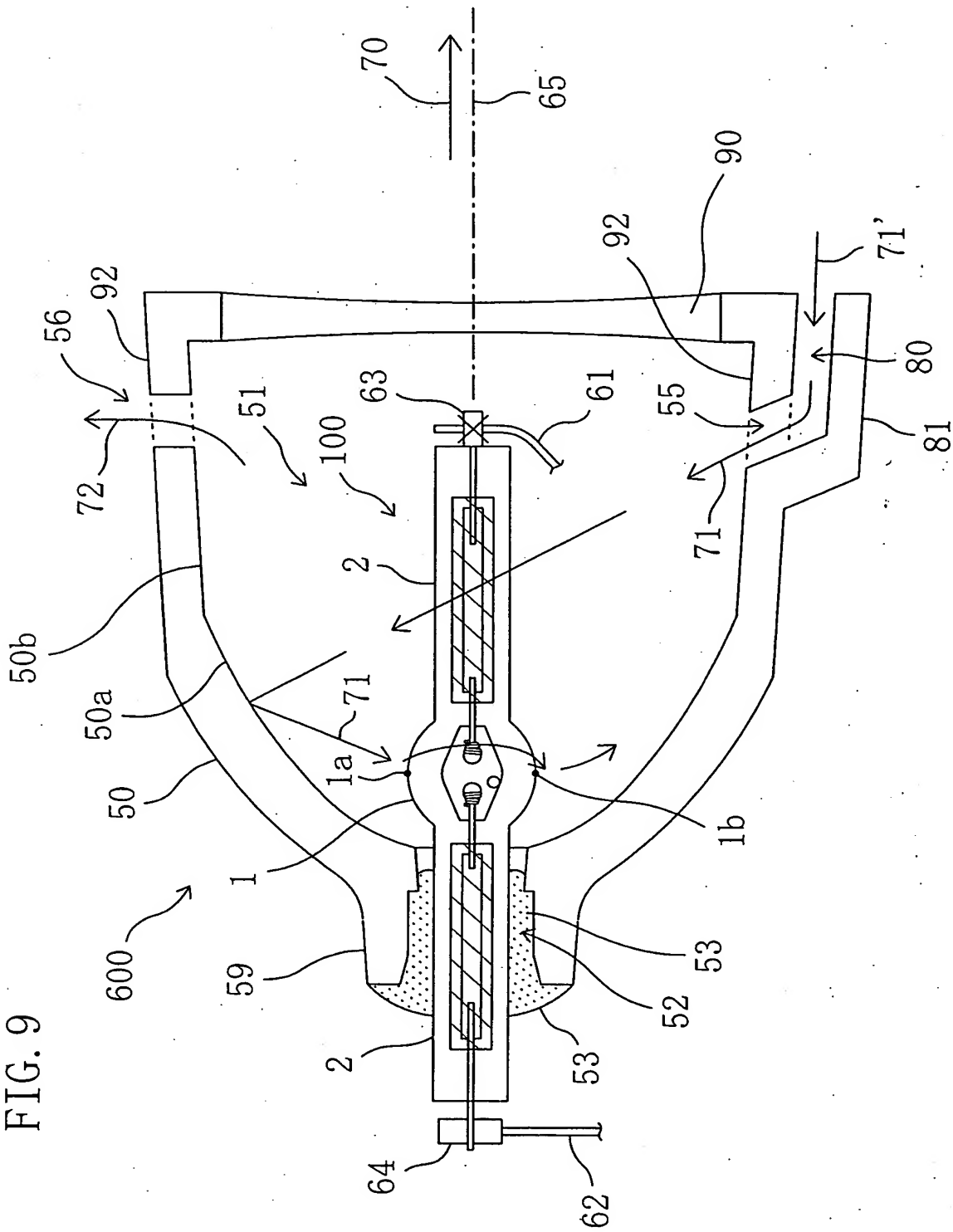
FIG. 8





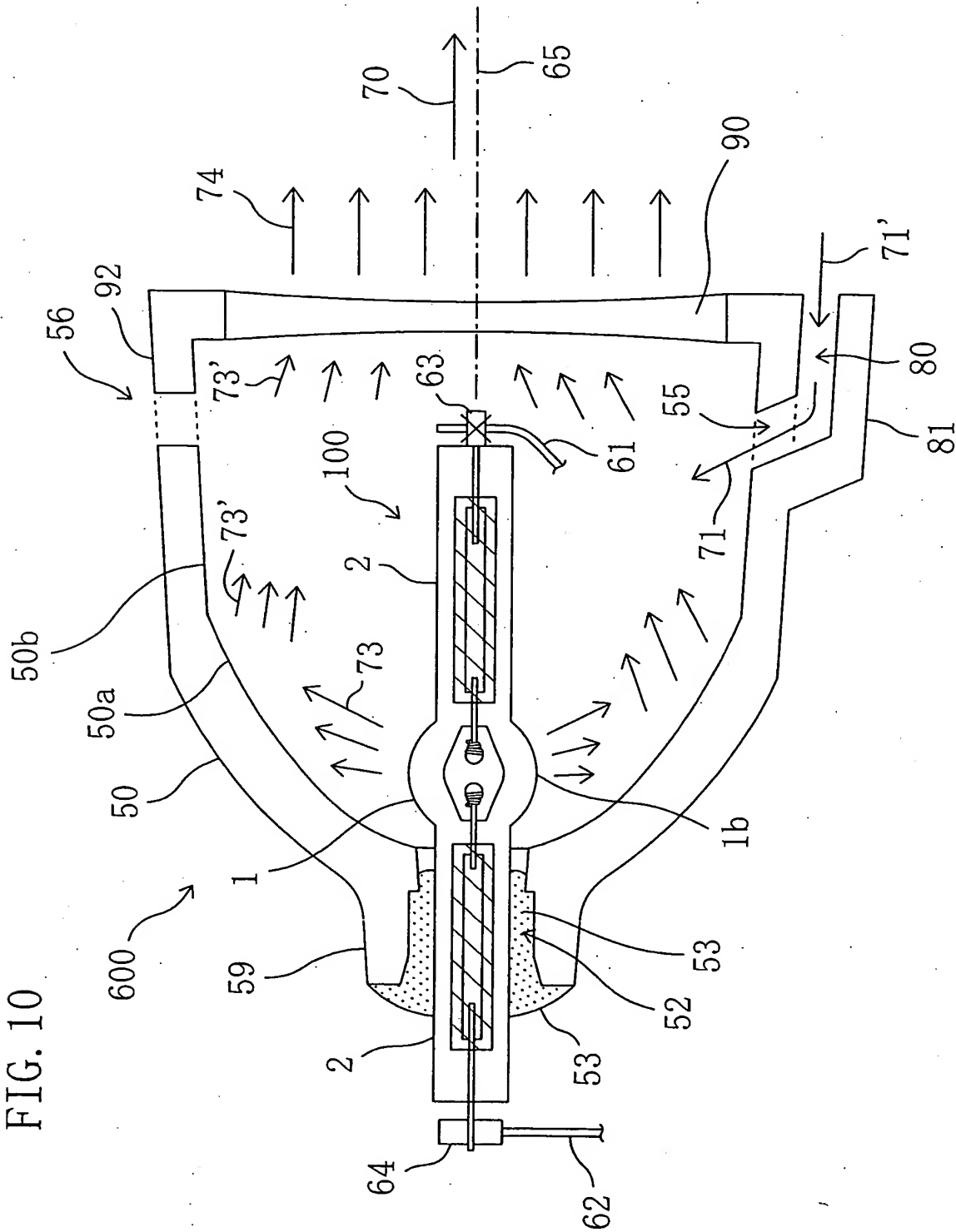
9/14

FIG. 9



10/14

FIG. 10



11/14

FIG. 11A

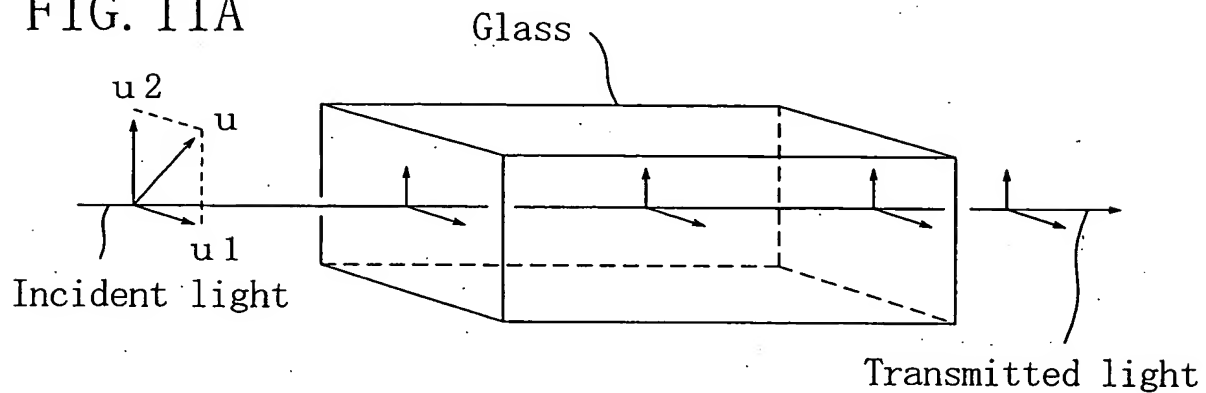
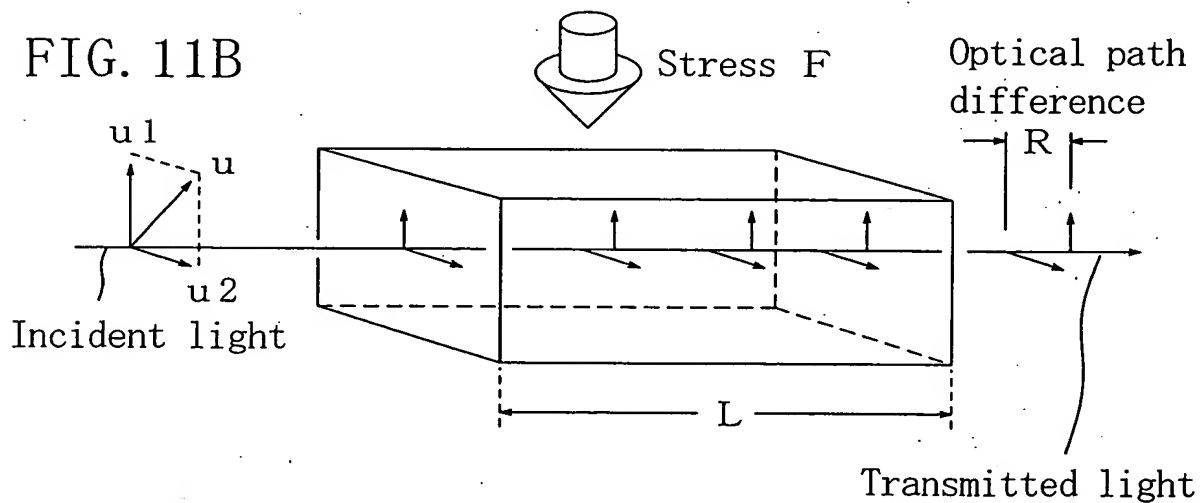


FIG. 11B



12/14

FIG. 12A

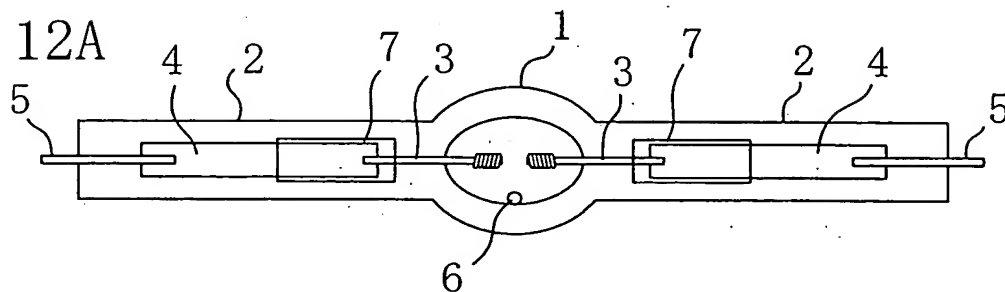


FIG. 12B

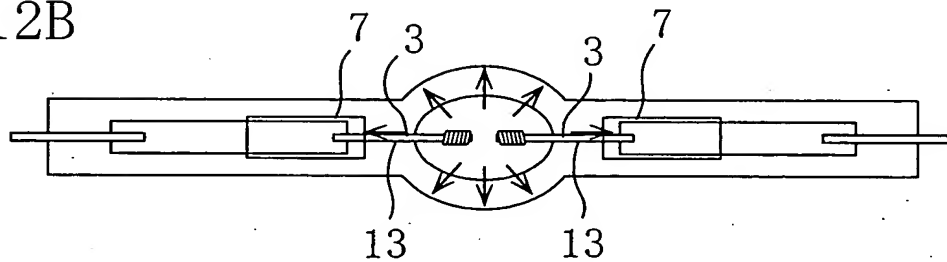


FIG. 12C

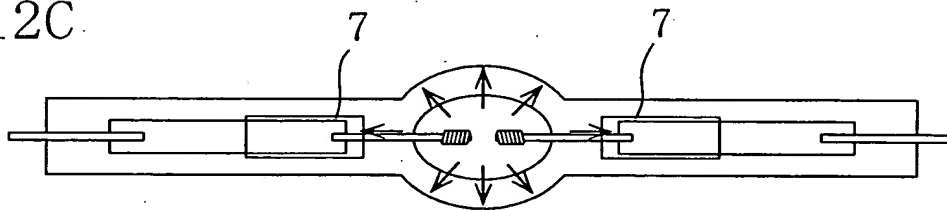
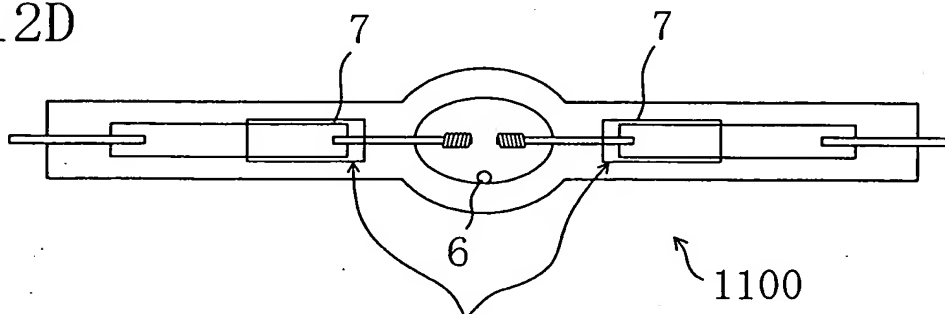


FIG. 12D



Compressive stress remains

13/14

FIG. 13A

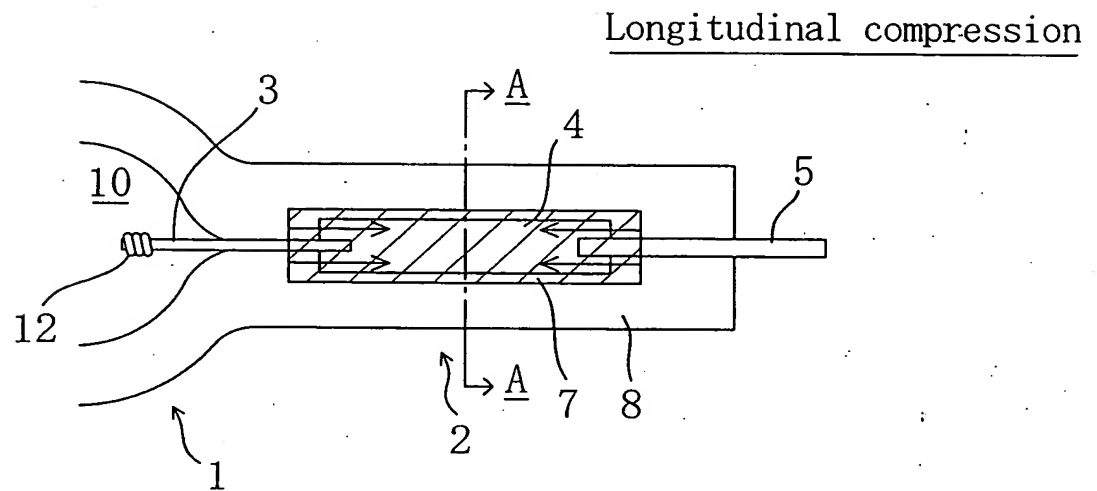
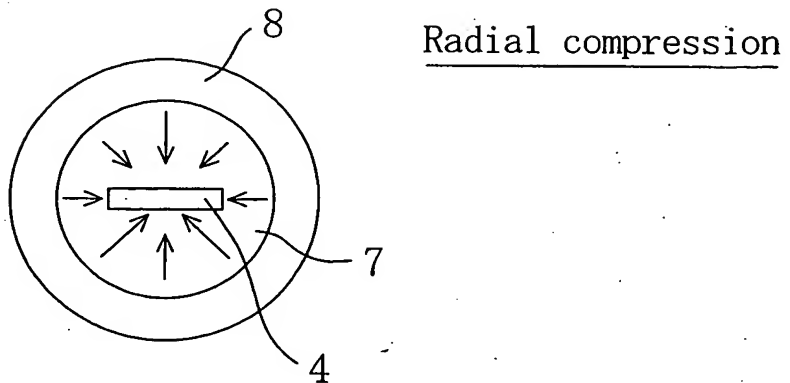


FIG. 13B



14/14

FIG. 14

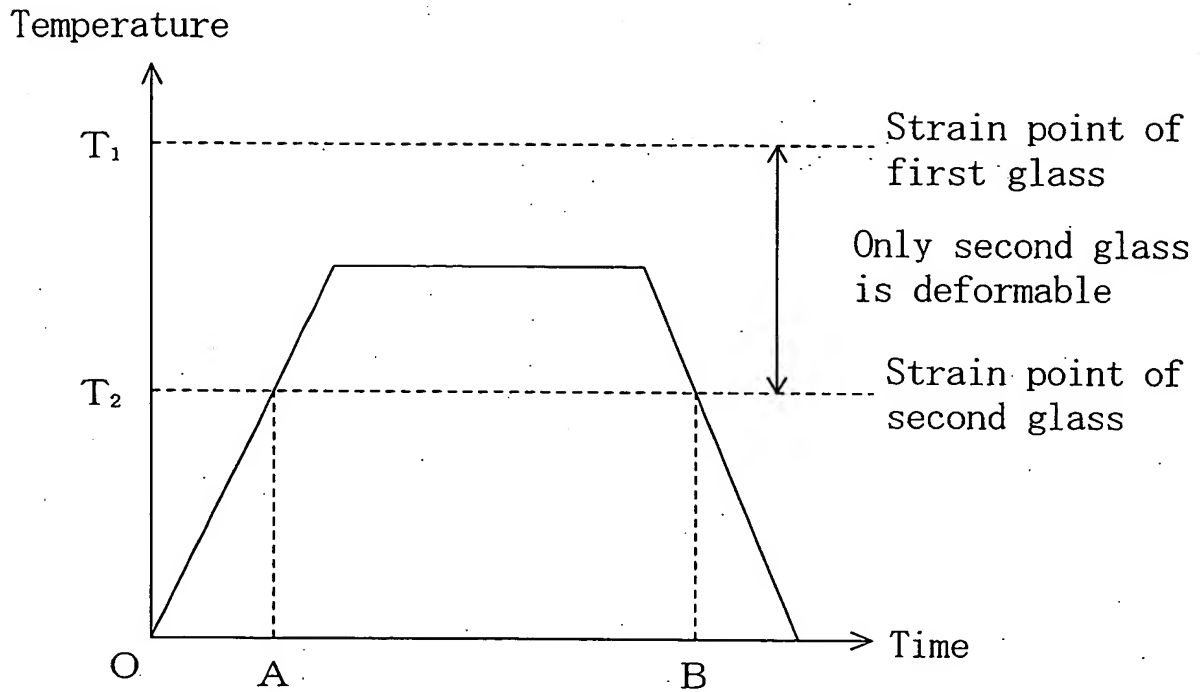


FIG. 15

